

КТП XI. Полные функции Грина

Содержание

Полные функции Грина в КТП	2
Диаграммная техника	4
Почему важны функции Грина?	12
Вычисление фейнмановских интегралов	17
Метод фейнмановских параметров	22
Переход в α -представление	27
Проблема сходимости фейнмановских интегралов	28
Регуляризация обрезанием	33
Размерная регуляризация	35
Вычисление интегралов в размерной регуляризации	39
Размерная регуляризация: спинорные поля	50
Регуляризация Паули-Вилларса	57

Полные функции Грина в КТП

➤ В КТП наибольший интерес представляют не матричные элементы

$$\langle \text{out} | T \exp \left(i \int d^4x \mathcal{L}_{\text{in}} \right) | \text{in} \rangle, \quad (1)$$

а *полные функции Грина*, или просто *функции Грина*, или *корреляторы*

 Причинной функцией Грина свободных полей называется их хронологическое спаривание

$$-iG^c(x-y) = \overline{\varphi(x)\varphi(y)} = \langle T(\varphi(y)\varphi(x)) \rangle_0. \quad (2)$$

 Эта функция удовлетворяет неоднородному уравнению Клейна-Гордона

$$(\partial_x^2 + m^2)G^c(x-y) = \delta(x-y) \Rightarrow \quad (3)$$

чем и обусловлено название.

➤ По аналогии введем полную n -частичную функцию Грина взаимодействующих полей. Имеем по определению для полей в представлении взаимодействия

$$G_n(x_1, \dots, x_n) = \langle T(\varphi(x_1)\varphi(x_2) \dots \varphi(x_n)S) \rangle_0 . \quad (4)$$

 Часто в литературе в этом определении опускают знак S -матрицы, считая, что поля находятся в представлении Гейзенберга,

$$G_n(x_1, \dots, x_n) = \langle T(\varphi(x_1)\varphi(x_2) \dots \varphi(x_n)) \rangle_0 , \quad (5)$$

а также и знак T -произведения

$$G_n(x_1, \dots, x_n) = \langle \varphi(x_1)\varphi(x_2) \dots \varphi(x_n) \rangle_0 . \quad (6)$$

Диаграммная техника

- Для вычисления функций Грина можно построить диаграммную технику.
- ✎ Заметим, что все операторы должны быть спарены --- в противном случае неспаренный оператор подействует на вакуум и даст ноль.
⇒
- ✎ Из этого следует, что для n -точечной функции Грина диаграммы должны иметь n внешних линий.
- ✎ При вычислении матричных элементов мы сопоставляли внешним линиям структуры, соответствующие решениям свободных уравнений движения.
- ✎ Для функций Грина это не так --- мы должны сопоставлять свободный пропагатор.
- ✎ Для внутренних линий ситуация не меняется: любой внутренней линии мы должны сопоставлять пропагатор.

 Ситуация также не меняется и для вершин, поскольку структура вершин целиком определяется лагранжианом взаимодействия. \Rightarrow

➤ Таким образом, диаграммная техника для функций Грина такая же, как и при вычислении матричных элементов, за исключением внешних линий. \Rightarrow

➤ В импульсном представлении

$$(2\pi)^4 \delta^4(p_1 + \dots + p_n) G_n(p_1 \dots p_n) = \int \prod_{i=1}^n d^4 x_i e^{-ip_i x_i} G_n(x_1 \dots x_n) \quad (7)$$

внешние импульсы p_i , от которых зависит функция Грина, не лежат на массовой поверхности и **входят** в диаграмму.

➤ **Пример:** рассмотрим двухточечную функцию Грина в теории ϕ^4 , или полный пропагатор, вплоть до первого порядка по λ .

 Далее мы не будем считать, что лагранжиан теории нормально упорядочен.



$$\langle T(\varphi_x \varphi_y S) \rangle_0 = \langle T(\varphi_x \varphi_y) \rangle_0 + \frac{-i\lambda}{4!} \langle T(\varphi_x \varphi_y \int dz \varphi^4(z)) \rangle_0 + \dots \quad (8)$$

☞ Первый член в этом разложении представляет собой свободный пропагатор

$$\langle T(\varphi_x \varphi_y) \rangle_0 = \overline{\varphi(x) \varphi(y)} \quad (9)$$

☞ Второе слагаемое: В нем мы можем

- спарить $\varphi(x)$ и $\varphi(y)$ с операторами $\varphi(z)$. Это можно сделать 12 способами.
- спарить $\varphi(x)$ и $\varphi(y)$ друг с другом, а операторы $\varphi(z)$ между собой. Последнее можно сделать 3 способами. \Rightarrow

➤ Имеем (см. 2-ое и 3-ье слагаемые на рис. 1),

$$\langle T(\varphi(x)\varphi(y) \int dz \varphi^4(z)) \rangle = 12 \int dz \overline{\varphi_x} \varphi_z \overline{\varphi_y} \varphi_z \overline{\varphi_z} \varphi_z + 3 \overline{\varphi_x} \varphi_y \int dz (\overline{\varphi_z} \varphi_z)^2 =$$

$$12i \int dz G^c(x-z)G^c(z-y)G^c(0) + 3iG^c(x-y)G^c(0)^2 \int dz \quad (10)$$

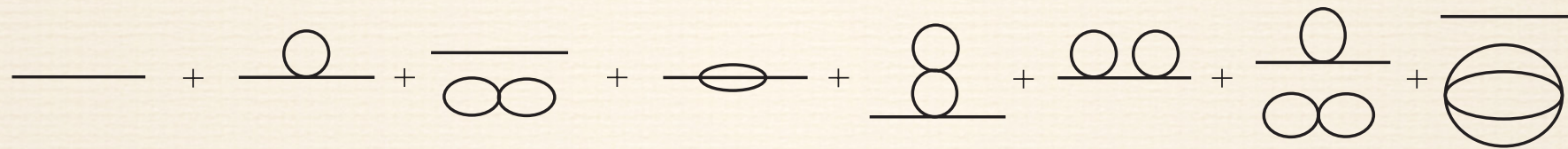


Рис. 1: Диаграммы, дающие вклад в полный пропагатор вплоть до второго порядка ТВ. Все ли диаграммы изображены?

- ✍ Помимо связанных диаграмм, появляются также несвязные диаграммы.
- ✍ В случае полного пропагатора от них достаточно просто избавиться, так как они являются *вакуумными*:

- ☞ Появление этих несвязных диаграмм обусловлено тем, что ни один оператор из некоторого произведения \mathcal{L}_{int} не спарен с φ_x или φ_y ,
 \Rightarrow в n -ом порядке теории возмущений присутствуют члены вида

$$\langle \varphi_x \varphi_y \left(i \int dz \mathcal{L}_{\text{int}}(z) \right)^m \rangle^{\text{con}} \times \left\langle \left(i \int dz \mathcal{L}_{\text{int}}(z) \right)^{n-m} \right\rangle, \quad (11)$$

- ☞ Первый множитель включает только связные диаграммы (мы предполагаем, что $\langle \varphi \rangle = 0$). \Rightarrow

- ☞ Такие члены легко просуммировать. В n -ом порядке имеем

$$\langle \varphi_x \varphi_y \rangle_n = \sum_{0 \leq m \leq n} \frac{n!}{m!(n-m)!} \langle \varphi_x \varphi_y \left(i \int dz \mathcal{L}_{\text{int}}(z) \right)^m \rangle^{\text{con}} \times \left\langle \left(i \int dz \mathcal{L}_{\text{int}}(z) \right)^{n-m} \right\rangle. \quad (12)$$

- ☞ Учитывая, что

$$\langle \varphi_x \varphi_y \rangle = \sum_{n=0}^{\infty} \frac{1}{n!} \langle \varphi_x \varphi_y \rangle_n, \quad \Rightarrow \quad (13)$$

👉 Получаем

$$\langle \varphi_x \varphi_y \rangle = \langle \varphi_x \varphi_y \rangle^{\text{con}} \langle S \rangle \quad (\text{Показать!}) \Rightarrow \quad (14)$$

➤ Определим связный пропагатор как

$$-iG(x, y) = \frac{\langle \varphi_x \varphi_y \rangle}{\langle S \rangle}. \quad (15)$$

👉 На самом деле, вакуумное среднее от S -матрицы не что иное, как чистая фаза в силу унитарности последней. Мы можем забыть про этот множитель и рассматривать функции Грина без вакуумных диаграмм.

👉 На уравнение (15) можно посмотреть и иначе:

➤ Мы определили функции Грина взаимодействующих гейзенберговских полей, как среднее от этих полей по вакууму свободного Гамильтониана (5).

- Однако вакуум во взаимодействующей теории (обозначим его $|\Omega\rangle$) может (и будет) отличаться от вакуума свободной теории $|0\rangle$.
- Если эти два вакуума неортогональны (если же они ортогональны, то теория не имеет ничего общего со слабо взаимодействующей теорией) друг другу: $\langle\Omega|0\rangle \neq 0$, \Rightarrow
- Можно показать, что функция Грина, вычисленная по вакууму $|\Omega\rangle$, связана с определенной нами функцией Грина следующим образом:

$$\langle\varphi_1 \dots \varphi_n\rangle_\Omega = \frac{\langle\varphi_1 \dots \varphi_n\rangle_0}{\langle S\rangle_0} \Rightarrow \quad (16)$$

- Надо считать по правильному вакууму $|\Omega\rangle$
- Мы будем обозначать его $|0\rangle$ и отбрасывать вакуумные диаграммы
- Итак, в случае двухточечной функции Грина мы получили после отбрасывания вакуумных диаграмм только связные диаграммы.
- Однако для n -точечной функции при $n > 2$ останутся еще несвязные части.

- Например, для 4-х точечной функции Грина в теории ϕ^4 мы будем иметь, после избавления от вакуумных диаграмм, диаграммы, изображенные на Рис. 2.



Рис. 2:

- Видно, что две последние диаграммы, изображенные на этом рисунке, соответствуют произведению пропагаторов двух частиц, \Rightarrow
- Изучение таких диаграмм сводится к изучению корреляторов с меньшим числом концов.

Почему важны функции Грина?

- Три основные причины, почему важны функции Грина:
 - Во-первых, как мы уже упоминали, функции Грина определены для произвольных внешних импульсов и тем самым содержат больше информации, нежели амплитуды переходов. Тот факт, что внешние импульсы не лежат на массовой поверхности, позволяет продолжать последние в комплексную плоскость, что в свою очередь дает информацию, например, о связанных состояниях.
 - Во-вторых, рассмотрим, например, процесс упругого рассеяния двух частиц в теории ϕ^4 . На Рис. 3 изображены две диаграммы в четвертом порядке теории возмущений, дающие вклад в амплитуду указанного процесса. Выделенные элементы этих диаграмм не что иное, как одна из поправок к двухточечной функции Грина (см. Рис. 1, 4-ая диаграмма) и к четырехточечной функции Грина (см. Рис. 2, 2-ая диаграмма). Действительно, по импульсам, пробегающим по петле, мы при вычислении матричных элементов должны проинте-

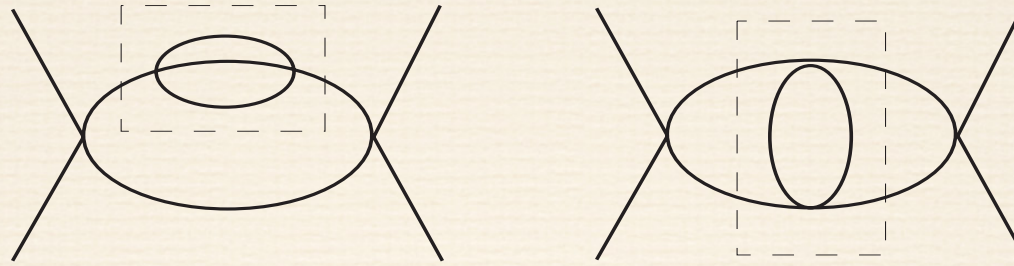


Рис. 3:

грировать. Поэтому на них не наложено условие массовой поверхности, и вычисление выделенных элементов диаграмм сводится к вычислению соответствующих функций Грина. Таким образом, для того чтобы вычислять матричные элементы в высших порядках теории возмущений, необходимо знать функции Грина.

- В-третьих, зная n -точечную функцию Грина, можно легко найти амплитуду процесса $m \rightarrow n - m$.

- Действительно, диаграммная техника для функций Грина совпадает с диаграммной техникой для амплитуд за исключением двух моментов:
 - ☞ внешними линиями корреляторов являются пропагаторы, внешними линиями амплитуд --- решения свободных уравнений движения;
 - ☞ внешние импульсы корреляторов не лежат на массовой поверхности. ⇒
- Таким образом, для того чтобы получить из функции Грина амплитуду необходимо

- ☞ ампутировать внешние *полные* пропагаторы, т.е. разделить функцию Грина на двухчастичные функции Грина, соответствующие внешним ногам;
- ☞ пришить вместо ампутированных линий, линии, соответствующие реальным частицам, т.е. умножить на поляризации частиц;
- ☞ устремить внешние импульсы к массовой поверхности $p_i^2 \rightarrow m_i^2$: \Rightarrow

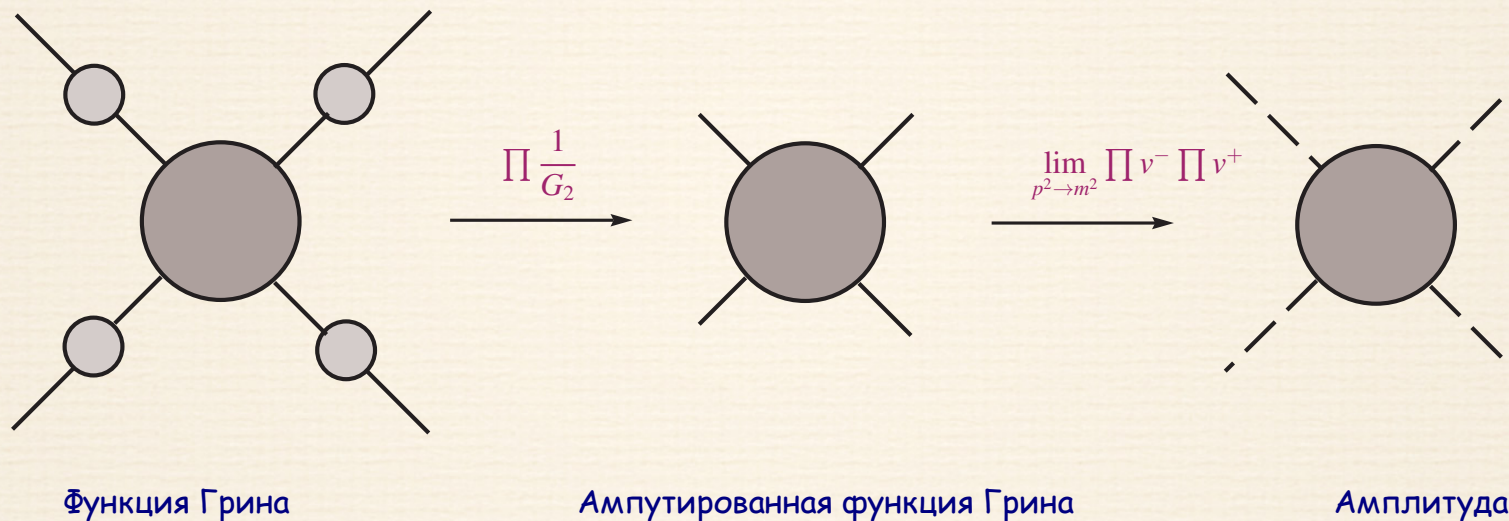


Рис. 4: Схематичное изображение описанной процедуры



$$\begin{aligned} & \langle p_{n-m+1}, \dots, p_n | S | p_1, \dots, p_m \rangle = \\ & = \lim_{p_i \rightarrow m_i^2} -iG_n(p_1, \dots, p_n) \times \prod_{i=1}^n \frac{1}{-iG_2^i(p_i, m_i)} \times \prod_{i=1}^m v^-(p_i) \prod_{i=n-m+1}^n v^+(p_i) \quad (17) \end{aligned}$$

-  Это уравнение носит название *редукционной формулы Лемана-Симанчика-Цимерманна* (ЛСЦ-формула).
-  Мы получили уравнение (17) опираясь на эвристические рассуждения и на диаграммную технику.
-  В действительности, строгое доказательство редукционной формулы не опирается ни на диаграммную технику, ни на теорию возмущений вообще и носит общий характер.
-  Интересным следствием редукционной формулы является то, что если функция Грина не имеет полюсов на массовой поверхности, то соответствующая ей амплитуда будет равна нулю.

Вычисление фейнмановских интегралов

➤ В теории $(\lambda/4!)\varphi^4$ четырехточечная связная функция Грина

$$(2\pi)^4 \delta(p_1 + p_2 - k_1 - k_2) G_4(p_1, p_2, k_1, k_2) = \int dx dy dz dt e^{-ip_1 x - ip_2 y + ik_1 z + ik_2 t} \langle \varphi_x \varphi_y \varphi_z \varphi_t \rangle$$

(18)

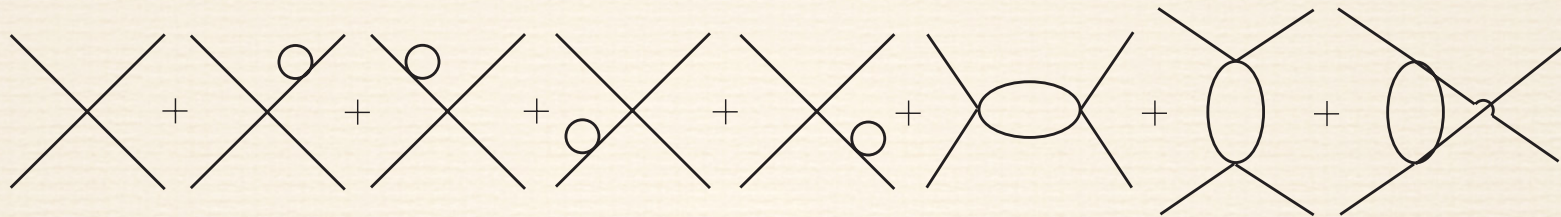


Рис. 5:

➤ Первая диаграмма на рис. 5 -- древесная -- первый порядок ТВ

➤ Во втором порядке вклад в функцию Грина дают семь диаграмм:

☞ 4 из них не являются сильносвязными (диаграммы 2--5) = древесная \times пропагатор \Rightarrow нужно изучать пропагатор

☞ 3 последние являются сильносвязными -- «рыбы» их нельзя превратить в несвязные диаграммы путем разрезания одной внутренней линии.

➤ Рассмотрим первую рыбу (см. Рис. 6) -- s-канал.

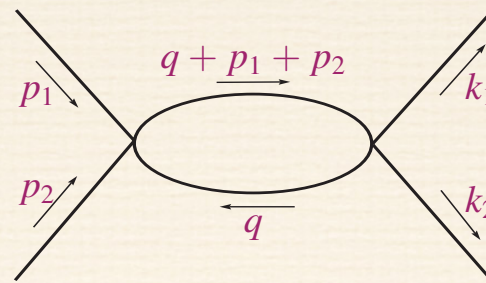


Рис. 6:

➤ По правилам Фейнмана

$$\frac{(-i\lambda)^2 4!^2}{4!^2 2!} \times \left\{ \frac{i}{p_1^2 - m^2} \cdot \frac{i}{p_2^2 - m^2} \cdot \frac{i}{k_1^2 - m^2} \cdot \frac{i}{k_2^2 - m^2} \right\} \times$$

$$\times \int \frac{d^4 q}{(2\pi)^4} \frac{i}{q^2 - m^2} \cdot \frac{i}{(q + p_1 + p_2)^2 - m^2} \quad (19)$$

👉 Уже проинтегрировали с помощью одной из δ -функций, стоящих в вершинах по одному из внутренних импульсов.

- ✎ Оставшаяся при этом δ -функция, выражающая закон сохранения полного импульса, явно учтена в определении (18).
- ✎ У всех масс в выражении (19) есть отрицательная мнимая добавка, которую мы явно не выписали: $m^2 \rightarrow m^2 - i\varepsilon$.
- ✎ Очевидно, что множитель, стоящий в фигурных скобках в (19) и соответствующий внешним пропагаторам, является тривиальным, поэтому имеет смысл от него избавиться, т.е. ампутировать внешние ноги у диаграммы. Таким образом для «ампутированной» «рыбы» имеем следующее выражение



$$\begin{array}{c} \diagup \\ \diagdown \end{array} \text{---} \text{fish} \text{---} \begin{array}{c} \diagdown \\ \diagup \end{array} = I(p_1 + p_2), \quad (20)$$

где

$$I(p) = \frac{\lambda^2}{2} \int \frac{d^4 q}{(2\pi)^4} \frac{1}{(q^2 - m^2)((q + p)^2 - m^2)}. \quad (21)$$

➤ Очевидно, что оставшиеся две «рыбы» на Рис. (5) даются точно таким же выражениями с соответствующей заменой импульсов:

☞ вторая равна $I(p_1 - k_1)$ -- t -канал

☞ третья равна $I(p_1 - k_2)$ -- u -канал.

➤ Ампутированный вертекс, т.е. сумма всех *одночастичнонеприводимых* (ОЧН) или *сильносвязных* диаграмм без внешних линий (сумма первой и трех последних ампутированных диаграмм на Рис. (5) равен при этом

$$\Gamma(s, t, u) = -i\lambda + I(\sqrt{s}) + I(\sqrt{t}) + I(\sqrt{u}) + \mathcal{O}(\lambda^3), \quad (22)$$

➤ Здесь

$$s = (p_1 + p_2)^2 = (k_1 + k_2)^2, \quad t = (p_1 - k_1)^2 = (p_2 - k_2)^2, \quad u = (p_1 - k_2)^2 = (p_2 - k_1)^2 \quad (23)$$

--- мандельштамовские переменные.

☞ Заметим, что импульсы не лежат на массовой поверхности, поэтому, например, $s + t + u \neq 4m^2$.

- Таким образом, мы свели задачу нахождения функции Грина к вычислению интеграла $I(p)$ (21). Интегралы такого вида называются *фейнмановскими* или *петлевыми*.
- Вычисление интегралов такого вида вызывает некоторые трудности.
- Первая из них связана с тем, что подынтегральное выражение зависит не от модуля вектора $|q|$, а от самого вектора q , т.е. от "угла" (пространство Минковского!) между вектором q и вектором p .
- Можно конечно явно проинтегрировать по этому углу и по модулю $|q|$. Однако, это не очень удобно.
- Другой путь --- это преобразовать интегрант таким образом, чтобы он зависел только от модуля $|q|$, интегрирование же по углам после этого становится тривиальным.
- Для того чтобы это сделать, существуют два наиболее распространенных способа:
 - ☞ метод фейнмановских параметров
 - ☞ переход в α -представление.

Метод фейнмановских параметров

- Основная идея метода основана на следующей формуле

$$\frac{1}{\prod_{i=1}^n a_i} = (n-1)! \int_0^1 \prod_{i=1}^n dx_i \cdot \frac{1}{\left(\sum_{i=1}^n a_i x_i\right)^n} \delta\left(1 - \sum_{i=1}^n x_i\right). \quad (24)$$

- Введем следующее обозначение для меры интегрирования в (24)

$$\int_0^1 \{dx\}_n \equiv \int_0^1 dx_1 \int_0^{1-x_1} dx_2 \int_0^{1-x_1-x_2} dx_3 \dots \int_0^{1-\sum_{i=1}^{n-2} x_i} dx_{n-1} = \int_0^1 \prod_{i=1}^n dx_i \cdot \delta\left(1 - \sum_{i=1}^n x_i\right) \quad (25)$$

- Переменные x_i называются **фейнмановскими параметрами**.

- Уравнение (24) можно продифференцировать по, например, a_1 :

$$\frac{1}{a_1^2 \prod_{i=2}^n a_i} = n! \int_0^1 \{dx\}_n \frac{x_1}{\left(\sum_{i=1}^n a_i x_i\right)^{n+1}}. \quad (26)$$

 Эта формула удобна тем, что в левой части мы имеем $n + 1$ сомножителя, два из которых одинаковы, тогда как в правой части мы по-прежнему ввели n фейнмановских параметра.

- Продемонстрируем применение метода на примере вычисления $I(p)$

 Имеем два пропагатора -- два множителя типа a_i в знаменателе

- Преобразуем это произведение с помощью (24), введя два фейнмановских параметра x и y . Имеем

$$\begin{aligned}
I(p) &= \frac{\lambda^2}{2} 1! \int \frac{d^4 q}{(2\pi)^4} \int_0^1 \int_0^1 \frac{dx dy \delta(1-x-y)}{((q^2 - m^2)y + ((q+p)^2 - m^2)x)^2} = \\
&= \frac{\lambda^2}{2} \int \frac{d^4 q}{(2\pi)^4} \int_0^1 \frac{dx}{((q^2 - m^2)(1-x) + (q+p)^2 x - m^2 x)^2} = \\
&= \frac{\lambda^2}{2} \int_0^1 dx \int \frac{d^4 q}{(2\pi)^4} \frac{1}{(q^2 + 2qpx + p^2 x - m^2)^2} = \\
&= \frac{\lambda^2}{2} \int_0^1 dx \int \frac{d^4 q}{(2\pi)^4} \frac{1}{((q+px)^2 - p^2 x^2 + p^2 x - m^2)^2} \stackrel{q+px \rightarrow q}{=} \\
&\stackrel{q+px \rightarrow q}{=} \frac{\lambda^2}{2} \int_0^1 dx \int \frac{d^4 q}{(2\pi)^4} \frac{1}{(q^2 - p^2(x^2 - x) - m^2)^2}. \tag{27}
\end{aligned}$$

 Таким образом, мы получили интегрант зависящий только от модуля вектора $|q|$.

- В общем случае однопетлевой фейнмановский интеграл после введения фейнмановских параметров сводится к следующему выражению

$$\int_0^1 \{dx\} \int dq \frac{P(q-b, p)}{(q^2 - D(p, x, m))^L}, \quad (28)$$

где $P(q, p)$ --- некий полином по векторам q_μ и p_μ .

- Получившийся интеграл можно легко свести к интегралам, зависящим только от квадратов импульса q_μ . Действительно,

$$\int dq F(q^2) \overbrace{q_\nu q_\mu \dots q_\rho}^{\text{нечетное}} = 0$$

$$\int dq F(q^2) q_\mu q_\nu = \frac{1}{4} g_{\mu\nu} \int dq F(q^2) q^2$$

$$\int dq F(q^2) q_\mu q_\nu q_\rho q_\sigma = \frac{1}{24} (g_{\mu\nu} g_{\rho\sigma} + g_{\mu\rho} g_{\nu\sigma} + g_{\mu\sigma} g_{\nu\rho}) \int dq F(q^2) (q^2)^2,$$

.....

(29)

-  Для того чтобы убедиться в справедливости этих выражений, достаточно заметить:
-  Интегралы, стоящие в левых частях этих равенств, являются симметричными тензорами соответствующего ранга, не зависящими после интегрирования ни от одного вектора. \Rightarrow
 -  Они могут выражаться только через единственный симметричный тензор, имеющийся в нашем распоряжении, --- метрику $g_{\mu\nu}$. \Rightarrow
 -  Выделяя таким образом тензорную структуру из интеграла, остается только определить скалярную часть: множитель типа $1/4 \int dq F(q^2) q^2$ во втором из интегралов (29).
 -  Для этого достаточно вычислить след от левой и правой части, т.е. просуммировать по индексам μ, ν, \dots . Действуя таким образом, можно получить (получить!) формулы типа (29).

Переход в α -представление

- Метод основан на следующем интегральном представлении для пропагатора

$$\frac{i}{q^2 - m^2 + i\epsilon} = \int_0^{\infty} e^{i\alpha(q^2 - m^2 + i\epsilon)} d\alpha. \quad (30)$$

- Заменяя каждый пропагатор в интегранте фейнмановского интеграла его α -представлением, можно свести интеграл к виду (мы будем приводить формулы в d измерениях)

$$\frac{i}{\pi^{d/2}} \int d^d q e^{i(aq^2 - 2bq)} q_\mu q_\nu \dots q_\rho, \quad (31)$$

где a --- функция, а b --- вектор, зависящие от α -параметров, внешних импульсов, масс, но не от импульса q .

- Эти интегралы легко вычислить (вычислить!). Для этого достаточно вычислить гауссов интеграл

$$\frac{i}{\pi^{d/2}} \int d^d q e^{i(aq^2 - 2bq)} = -\frac{1}{(ia)^{d/2}} e^{-ib^2/a}. \quad (32)$$

Проблема сходимости фейнмановских интегралов

- С помощью введения фейнмановских параметров интеграл $I(p)$ приведен к виду

$$\frac{\lambda^2}{2} \int_0^1 dx \int \frac{d^4 q}{(2\pi)^4} \frac{1}{(q^2 - p^2(x^2 - x) - m^2)^2}. \quad (33)$$

- Этот интеграл расходится на верхнем пределе, или, как говорят, ультрафиолетово:

- Действительно, мера интегрирования $d^4 q \sim q^3 dq$, тогда как знаменатель интегранта при $q \rightarrow \infty$ ведет себя как $q^4 \Rightarrow$

- При больших импульсах интеграл ведет себя как

$$\int \frac{dq}{q} = \ln \Lambda \xrightarrow{\Lambda \rightarrow \infty} \infty, \quad (34)$$

т.е. логарифмически расходится.

- Природу этой расходимости легко проследить, вернувшись в координатное пространство.

- В координатном пространстве вычисляемая функция Грина имеет вид

$$\int d^4x d^4y (G^c(x-y))^2 \times F(x, y, \dots) \quad (35)$$

где $F(x, y, \dots)$ --- множитель, соответствующий произведению внешних пропагаторов.

- Видим, что в подынтегральном выражении стоит квадрат причинной функции Грина.
- Однако, такая величина неопределена: $G^c(x)$ -- обобщенная функция.
- Для обобщенных функций хорошо определены их свертки с обычными функциями. Здесь же мы получили свертку обобщенной функции с самой собой.
- Функция Грина имеет сингулярности на световом конусе $\lambda = x^2$

$$G^c(x) \stackrel{\lambda \rightarrow 0}{=} \frac{1}{4\pi^2 i} \frac{P}{\lambda} + \frac{1}{4\pi} \delta(\lambda) - \frac{m^2}{16\pi} \theta(\lambda) + \frac{im^2}{8\pi^2} \ln \frac{m|\lambda|}{2} + \mathcal{O}(\sqrt{|\lambda|} \ln |\lambda|) \Rightarrow \quad (36)$$

- Это означает, что в подынтегральном выражении вблизи светового конуса мы имеем члены вида $\delta(\lambda)^2$ или $\delta(\lambda)/\lambda$, которые, конечно, неинтегрируемы. \Rightarrow
- Видим, что интеграл (35) расходится при $|x - y| \rightarrow 0$, т.е. на малых (минковских) расстояниях -- световом конусе.
- В импульсном же пространстве малые расстояния соответствуют большим импульсам, с чем мы и столкнулись при вычислении $I(p)$.
- ✍ Сингулярности функции Грина имеют глубокую физическую причину:
- ✍ Они связаны с понятиями локальности взаимодействия и элементарной (или точечной) частицы.
- ✍ Действительно, функция Грина является не чем иным, как полем, порождаемым точечной частицей, рожденной на нулевой интервал времени (δ -образный источник).
- ✍ Хорошо известно, что в классической нерелятивистской механике материальная точка является лишь идеализацией реальных частиц. Но

не так обстоит дело в релятивистской квантовой теории.

-  Поскольку в *полной* релятивистской квантовой теории поля мы хотим описывать элементарные частицы, мы вынуждены вводить точечные объекты, т.е. по сути δ -функции. \Rightarrow
-  Наличие сингулярностей у пропагатора является неотъемлемой частью квантовой теории поля и от нее нельзя избавиться, сказав, что наши объекты неточечные и мы не должны рассматривать расстояния, меньше некоторого расстояния.
-  Подчеркнем, что сказанное относится лишь к *полной* теории.
-  Если же мы рассматриваем, *эффективную* теорию, т.е. теорию, описывающую явления только при каких-то конечных энергиях (или на очень малых расстояниях), то такой подход вполне законен: в интегралах по импульсам нужно интегрировать не до бесконечности, а до тех импульсов, при которых наша теория еще верна.
-  В *полной* же теории мы не можем избавиться от точечных частиц.

-  Однако у нас и нет средств определить величины, такие как масса, заряд и значение поля, характеризующие одну точечную частицу, не участвующую ни в каких взаимодействиях:
-  Такая частица всегда взаимодействует не только с полем прибора, но и с полем виртуальных частиц или, другими словами, с флуктуациями вакуума.
-  А по сути ровно эти величины входят во все наши выражения (по крайней мере в полученные в рамках теории возмущений).
-  Таким образом, идеальными (т.е. ненаблюдаемыми) объектами в квантовой теории поля являются не точечные частицы, а величины, приписываемые им без учета взаимодействия.
-  Этим фактом можно воспользоваться, чтобы изгнать из физических (наблюдаемых) величин обнаруженные сингулярности путем переопределения или, как говорят, *перенормировки* ненаблюдаемых величин.
-  Для того чтобы это сделать, необходимо научиться работать с сингулярными интегралами путем их доопределения или *регуляризации*.

Регуляризация обрезанием

- Существует множество способов регуляризации.
- Простой и естественный способ -- регуляризация обрезанием:
- Пусть $f(q) \stackrel{q \rightarrow \infty}{\sim} q^n \Rightarrow$

$$\int d^4 q f(q) \rightarrow \int d^4 q q^3 f(q) \stackrel{\Lambda \rightarrow \infty}{\sim}$$

$$\left\{ \begin{array}{l} \Lambda^{n+4} \cdot \# + \dots, \quad n > -4 \text{ -- расходится степенным образом} \\ \ln \Lambda \cdot \# + \dots, \quad n = -4 \text{ -- расходится логарифмически} \\ \# + \mathcal{O}(\Lambda^{-|n+4|}), \quad n < -4 \text{ -- сходится} \end{array} \right. \quad (37)$$

- 😊 Очень удобно делать оценки типа (37)
- 😞 Не очень удобно проводить реальные вычисления: как проводить вычисления, например, в формулах (27), (29)? \Rightarrow
- 😞 Может нарушить лоренц-инвариантность, о восстановлении которой надо позаботиться в конце вычислений.

-  В действительности, **любая** регуляризация нарушает какую-либо симметрию: связано с тем, что **всегда** приходится вводить дополнительный параметр с размерностью массы, т.е. дополнительный энергетический масштаб.
-  По окончании вычислений (снятие регуляризации) необходимо восстановить симметрии.
-  Если это удастся сделать, то всё в порядке.
-  Если же **нет**, то возникает **квантовая аномалия**. Соответствующая симметрия называется **аномальной**: соответствующий классический заряд сохраняется, а квантовый -- **нет**.
-  Распад $\pi^0 \rightarrow 2\gamma$ -- основная мода распада π^0 -- обусловлен квантовой аномалией (почему?)
-  Имеет смысл выбирать регуляризацию, сохраняющую как можно больше симметрий, в первую очередь, ЛИ и калибровочные симметрии.

Размерная регуляризация

- При вычислении $I(p)$, мы видели, что подынтегральное выражение при больших импульсах ведет себя как

$$\frac{q^3 dq}{q^4} = \frac{dq}{q}, \quad (38)$$

- Интеграл логарифмически расходится на бесконечности.
- Очевидно, что если бы в левой части уравнения (38) в числителе q было бы в меньшей степени, чем 3, то интеграл перестал бы расходиться.
- Но степень q в числителе в левой части (38) определяется числом измерений: так, если число измерений d , то уравнение (38) принимает следующий вид

$$\frac{q^{d-1} dq}{q^4} = \frac{dq}{q^{5-d}} \Rightarrow \quad (39)$$

- При $d < 4$ интеграл сходится. В этом заключается основная идея метода размерной регуляризации: все вычисления производятся в пространстве-времени размерности d , снятие регуляризации осуществляется как предел $d \rightarrow 4$.

 Однако, необходимо быть последовательным и регуляризовать не отдельно взятый интеграл, а всю теорию целиком, т.е. необходимо стартовать с действия.

➤ В d измерениях действие для теории φ^4 имеет вид

$$S_d = \int d^d x \left(\frac{(\partial\varphi)^2}{2} - \frac{m^2\varphi^2}{2} - \frac{\lambda\varphi^4}{4!} \right). \quad (40)$$

➤ Действие в любом числе измерений безразмерно \Rightarrow

➤ Легко вычислить размерности полей и параметров (в единицах массы):

$$[\varphi] = \frac{d-2}{2}, \quad [m] = 1, \quad [\lambda] = 4-d. \quad (41)$$

➤ Видим, что в 4 измерениях константа связи λ безразмерна, и единственный размерный параметр --- масса.

➤ Однако, в любом другом числе измерений λ имеет определенную ненулевую размерность. \Rightarrow

 Переход от $d = 4$ к $d \neq 4$ имеет качественный скачок: мы вводим в теорию дополнительный массовый параметр и тем самым дополнительный характерный масштаб импульсов и энергий.

➤ Удобно этот новый массовый масштаб выделить явным образом, оставив константу связи безразмерной. \Rightarrow Запишем действие (40) в виде

$$S_d = \int d^d x \left(\frac{(\partial \varphi)^2}{2} - \frac{m^2 \varphi^2}{2} - \frac{\mu^{2\varepsilon} \lambda \varphi^4}{4!} \right), \quad (42)$$

где

$$[\mu] = 1 \quad [\lambda] = 0, \quad 2\varepsilon \equiv 4 - d. \quad (43)$$

➤ В d измерениях изменяются также размерности функций Грина.

- Размерность n -точечной функции Грина (в рассматриваемой теории) в координатном представлении

$$[G_n(x)] = n \frac{d-2}{2} = n(1-\varepsilon), \quad (44)$$

- В импульсном -- для неампутированной и ампутированной функций Грина

$$[G_n(p)] = \frac{d(2-n) - 2n}{2} = 4 - 3n + \varepsilon(n-2), \quad (45)$$

$$[G_n^{\text{амп}}(p)] = \frac{d(2-n) + 2n}{2} = 4 - n + \varepsilon(n-2). \quad (46)$$

Вычисление интегралов в размерной регуляризации

➤ В произвольном числе измерений имеем для $I(p)$

$$I(p) = \frac{\lambda^2 \mu^{4\varepsilon}}{2} \int_0^1 dx \int \frac{d^d q}{(2\pi)^d} \frac{1}{(q^2 - p^2(x^2 - x) - m^2)^2}. \quad (47)$$

 Заметим, что этот интеграл берется по минковским импульсам, \Rightarrow

 мы не можем непосредственно проинтегрировать по углам;

 интеграл имеет полюса на действительной оси q_0 .

➤ От обеих этих трудностей можно избавиться, повернув контур интегрирования по q_0 в комплексную область или, как, говорят, сделав **ВИКОВ поворот**.

➤ Для того чтобы узнать, как следует поворачивать контур, необходимо определить, как обходятся полюса в подынтегральном выражении: у квадрата массы есть отрицательная мнимая добавка: $m^2 = m^2 - i\varepsilon \Rightarrow$

$$q_0 = \pm \sqrt{q^2 + p^2(x^2 - x) + m^2 \mp i\varepsilon} \Rightarrow \quad (48)$$

40

полюса обходятся, как показано на Рис. 7. \Rightarrow

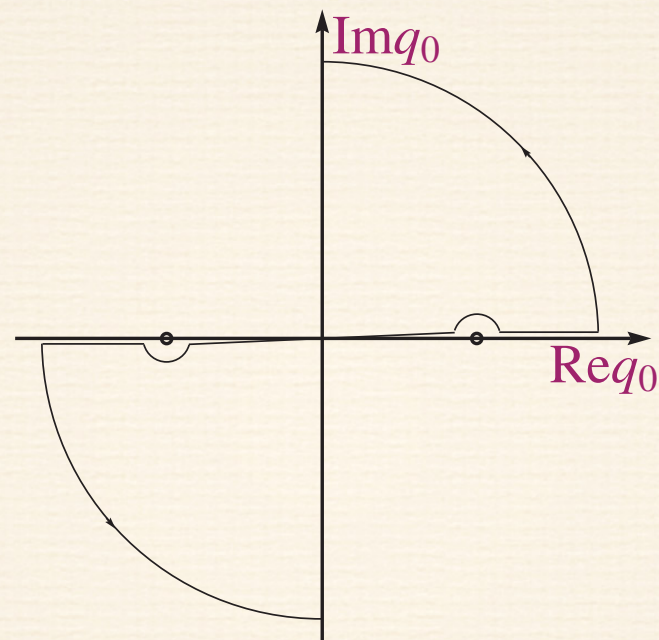


Рис. 7: Поворот Вика

- Мы можем повернуть контур интегрирования против часовой стрелки на 90° (см. Рис. 7):
- Интегралы по бесконечно удаленным четвертям окружности дадут ноль

(здесь очень важно, что регуляризованный интеграл сходится) \Rightarrow

- Интеграл по действительной оси q_0 будет равен интегралу по мнимой оси:

$$\int_{-\infty}^{\infty} dq_0 F(q_0) = \int_{-i\infty}^{i\infty} dq_0 F(q_0) \stackrel{q_0 \rightarrow iq_0}{=} i \int_{-\infty}^{\infty} dq_0 F(iq_0) \quad (49)$$

 Заметим, что после замены переменных в последнем равенстве цепочки (49) минковский квадрат импульса $q^2 = q_0^2 - \mathbf{q}^2$ переходит в евклидов квадрат: $q_M^2 \rightarrow -q_E^2 = -(q_0^2 + \mathbf{q}^2)$. \Rightarrow

- После викова поворота интеграл $I(p)$ становится интегралом по евклидову импульсу. \Rightarrow
- Мы можем ввести сферические d -мерные координаты, чтобы проин-

тегрировать его

$$\begin{aligned} I(p) &= i \frac{\lambda^2 \mu^{4\varepsilon}}{2} \int_0^1 dx \int \frac{d^d q_E}{(2\pi)^d} \frac{1}{(-q_E^2 - p^2(x^2 - x) - m^2)^2} = \\ &= i \frac{\lambda^2 \mu^{4\varepsilon}}{2} \int_0^1 dx \int d\Omega_d \int_0^\infty \frac{q^{d-1} dq}{(2\pi)^d} \frac{1}{(q^2 + p^2(x^2 - x) + m^2)^2} = \\ &= i \frac{\lambda^2 \mu^{4\varepsilon}}{2} \frac{1}{(2\pi)^d} \frac{2\pi^{d/2}}{\Gamma(d/2)} \int_0^1 dx \int_0^\infty \frac{q^{d-1} dq}{(q^2 + p^2(x^2 - x) + m^2)^2}. \end{aligned} \quad (50)$$

 Здесь мы использовали формулу интегрирования по полному телесному углу в d -мерном пространстве

$$\int d\Omega_d = \frac{2\pi^{d/2}}{\Gamma(d/2)}. \quad (51)$$

 Заметим, что теперь мы можем аналитически продолжать выражение (50) по d на нецелые и даже комплексные значения. А также брать непрерывный предел $d \rightarrow 4$.

- Интеграл по q : воспользуемся следующим интегральным представлением β -функции Эйлера:

$$B(n, m) = \int_0^{\infty} \frac{t^{n-1}}{(1+t)^{n+m}} dt. \quad (52)$$

- 👉 Напомним, что бета-функция определяется через Γ -функцию следующим образом

$$B(n, m) = \frac{\Gamma(n)\Gamma(m)}{\Gamma(n+m)}. \quad (53)$$

- Имеем тогда для интеграла вида (50):

$$\begin{aligned} \int_0^{\infty} \frac{q^{n-1}}{(q^2+a)^L} dq &= \frac{a^{n/2}}{a^L} \int_0^{\infty} \frac{(q/\sqrt{a})^{n-1} d(q/\sqrt{a})}{((q/\sqrt{a})^2+1)^L} \stackrel{q=z\sqrt{a}}{=} \\ &= a^{n/2-L} \int_0^{\infty} \frac{z^{n-1} dz}{(z^2+1)^L} \stackrel{t=z^2}{=} \frac{a^{n/2-L}}{2} \int_0^{\infty} \frac{t^{n/2-1} dt}{(t+1)^L} \stackrel{(52)}{=} \\ &= \frac{a^{n/2-L}}{2} B\left(\frac{n}{2}, L - \frac{n}{2}\right) = \frac{a^{n/2-L} \Gamma(n/2) \Gamma(L - n/2)}{2 \Gamma(L)} \Rightarrow \end{aligned} \quad (54)$$

➤ Получаем

$$\begin{aligned} I(p) &= \frac{i\lambda^2\mu^{4\varepsilon}}{2^d\pi^{d/2}\Gamma(d/2)} \frac{\Gamma(d/2)\Gamma(2-d/2)}{2\Gamma(2)} \int_0^1 dx (m^2 + p^2(x^2 - x))^{d/2-2} = \\ &= i \frac{\lambda^2\mu^{4\varepsilon}}{32} \frac{2^{2\varepsilon}}{\pi^{2-\varepsilon}} \Gamma(\varepsilon) \int_0^1 dx (m^2 + p^2(x^2 - x))^{-\varepsilon} = \\ &= i\mu^{2\varepsilon} \frac{\lambda^2}{32\pi^2} \Gamma(\varepsilon) \int_0^1 dx \left(\frac{4\pi\mu^2}{m^2 + p^2(x^2 - x)} \right)^\varepsilon, \end{aligned} \quad (55)$$

 В последнем равенстве мы явно выделили множитель $\mu^{2\varepsilon}$, обеспечивающий правильную размерность интеграла в d измерениях (см. (46)).

➤ Видим, что получившееся выражение конечно при конечных ε .

➤ При $\varepsilon \rightarrow 0$, Γ -функция имеет простой полюс:

 А именно, Γ -функция имеет простые полюса при неположительных

целых значениях аргумента:

$$\Gamma(-n + \varepsilon) = \frac{(-1)^n}{n!} \left(\frac{1}{\varepsilon} + \psi(n + 1) + \mathcal{O}(\varepsilon) \right), \quad n = 0, 1, \dots, \quad (56)$$

где дигаммафункция

$$\psi(x) = \frac{d \ln \Gamma(x)}{dx}; \quad \psi(n + 1) = \sum_{k=1}^n \frac{1}{k} - \gamma, \quad (57)$$

и $\gamma = 0.577216 \dots$ --- постоянная Эйлера,

$$\gamma = \lim_{n \rightarrow \infty} \sum_{k=1}^n \frac{1}{k} - \ln(n). \quad (58)$$

- Используя (56), разложим (55) в ряд Лорана вблизи $\varepsilon = 0$ (сохраняя при этом правильную размерность выражения). Имеем

$$\begin{aligned}
I(p) &= i\mu^{2\varepsilon} \frac{\lambda^2}{32\pi^2} \left(\frac{1}{\varepsilon} - \gamma + \mathcal{O}(\varepsilon) \right) \times \int_0^1 dx \left(1 - \varepsilon \ln \frac{m^2 + p^2(x^2 - x)}{4\pi\mu^2} + \mathcal{O}(\varepsilon^2) \right) = \\
&= i\mu^{2\varepsilon} \frac{\lambda^2}{32\pi^2} \left(\frac{1}{\varepsilon} - \gamma + \ln 4\pi - \int_0^1 dx \ln \frac{m^2 + p^2(x^2 - x)}{\mu^2} + \mathcal{O}(\varepsilon) \right). \quad (59)
\end{aligned}$$

-  Расходящаяся часть интеграла не зависит от импульса -- следует из размерных соображений (как расходится интеграл?)
-  Конечная часть **зависит** от произвольного параметра μ -- не удивительно, т.к. $\infty + 5 = \infty + 6$.
-  Оставшийся интеграл в (59) легко вычислить (вычислить!)

- Рассмотрим теперь двухточечную функцию Грина. Такая ампутированная ОЧН функция определяется как

$$-i\Gamma_2(p) = -iG_2^{\text{ОЧН}} \times \left(\frac{p^2 - m^2}{i} \right)^2, \Rightarrow \quad (60)$$

- В нулевом порядке теории возмущений, т.е. когда G_2 является просто свободным пропагатором,

$$-i\Gamma_2^{(0)}(p) = -i(p^2 - m^2) \quad (61)$$

--- является обратным пропагатором.

- Обычно, вместо $\Gamma_2(p)$ вводят в ненулевом порядке теории возмущений так называемую *собственную энергию*, определенную как

$$-i\Gamma_2(p) = -i\Gamma_2^{(0)}(p) - i\Sigma(p^2). \quad (62)$$

- В первом порядке теории возмущений имеется одна диаграмма, назы-

ваемая «пузырем», дающая вклад в Σ

$$\Sigma(p) = i \text{ (bubble diagram) } = i \frac{\lambda \mu^{2\varepsilon}}{2} \int \frac{d^d q}{(2\pi)^d} \frac{1}{q^2 - m^2} \quad (63)$$

- Интеграл в правой части (63) квадратично расходится при $d = 4$.
- Тем не менее, в размерной регуляризации он имеет только простой полюс при $\varepsilon \rightarrow 0$.
- Окончательный ответ имеет вид

$$\Sigma(p) = -\frac{\lambda m^2}{32\pi^2} \left(\frac{1}{\varepsilon} - \gamma + \ln 4\pi + 1 + \ln \frac{\mu^2}{m^2} \right) \quad (64)$$

- 👉 То, что этот интеграл не зависит от внешнего импульса, является следствием однопетлевого приближения в теории φ^4 .
- 👉 В двухпетлевом приближении это уже будет не так.
- 👉 Если бы мы рассматривали лагранжиан в нормально упорядоченном виде, то такой диаграммы вообще бы не было. И первый нетривиальный вклад в Σ был бы двухпетлевой.

 Заметим, что в выражения (64), (59) входит одна и та же комбинация

$$N_\varepsilon = \frac{1}{\varepsilon} - \gamma + \ln 4\pi . \quad (65)$$

Можно показать, что такая комбинация будет всегда возникать в размерной регуляризации, поэтому для нее есть специальное обозначение N_ε .

➤ В общем случае после введения фейнмановских параметров в размерной регуляризации получается следующий интеграл

$$J_d(D, L) = \int \frac{d^d q_M}{(q^2 - D)^L} = i(-1)^L \int \frac{d^d q_E}{(q^2 + D)^L} = i(-1)^L \pi^{d/2} \frac{\Gamma(L - d/2)}{\Gamma(L)} D^{d/2-L} . \quad (66)$$

➤ Из этого интеграла легко получить другие интегралы, например,

$$J_d^{\mu\nu}(D, L) = \int \frac{d^d q_M q^\mu q^\nu}{(q^2 - D)^L} = \frac{g^{\mu\nu}}{d} \int \frac{d^d q_M q^2}{(q^2 - D)^L} = \frac{g^{\mu\nu}}{d + 2 - 2L} D J_d(D, L) . \quad (67)$$

Размерная регуляризация: спинорные поля

- В действительности приведенное выше определение размерной регуляризации не вполне корректно.
- Более последовательное определение -- это рассматривать теорию в бесконечномерном векторном пространстве, а d рассматривать как формальный параметр.
- В частности, следствием корректного определения является (сравни с (66))

$$\int d^d q \frac{1}{(q^2)^L} = 0 \text{ при } \forall L. \quad (68)$$

- Поскольку пространство бесконечномерно, то и γ -матрицы бесконечномерны (минимальная размерность матриц Дирака в пространстве--времени размерности 2ω равна 2^ω).

- Для того чтобы описать такие матрицы, необходимо потребовать выполнение следующих двух свойств

$$\{\gamma_\mu \gamma_\nu\} = 2g_{\mu\nu} \mathbf{1} , \quad (69)$$

$$\gamma^{\mu\dagger} = \gamma_\mu . \quad (70)$$

- Кроме того, необходимо
- 👉 научиться вычислять свертки;
 - 👉 научиться вычислять следы;
 - 👉 определить γ_5 .

➤ Свертки вычисляются с помощью соотношений антикоммутации (69).

Имеем

$$\gamma_\mu \gamma^\mu = \frac{1}{2} \{ \gamma_\mu \gamma^\mu \} = g_\mu^\mu \mathbf{1} = d, \quad (71)$$

$$\gamma_\mu \gamma_\nu \gamma^\mu = 2g_{\mu\nu} \gamma^\mu - \gamma_\mu \gamma^\mu \gamma_\nu = (2 - d) \gamma_\nu, \quad (72)$$

$$\gamma_\mu \gamma_\nu \gamma_\rho \gamma^\mu = 4g_{\nu\rho} + (d - 4) \gamma_\nu \gamma_\rho, \quad (73)$$

$$\gamma_\mu \gamma_\nu \gamma_\rho \gamma_\lambda \gamma^\mu = -2\gamma_\lambda \gamma_\rho \gamma_\nu + (4 - d) \gamma_\nu \gamma_\rho \gamma_\lambda. \quad (74)$$

 Важно удерживать слагаемые $\sim (d - 4)$ (исчезающие при $d = 4$), т.к. при умножении на расходящийся интеграл они дадут вклад в конечную часть.

- Для того чтобы вычислять следы, необходимо определить след в бесконечномерном пространстве.
- Определим след, как операцию, удовлетворяющую следующим свойствам (α, β --- числа, A, B --- матрицы):

$$Tr(\alpha A + \beta B) = \alpha Tr A + \beta Tr B, \quad (75)$$

$$Tr(AB) = Tr(BA). \quad (76)$$

- Кроме этого, необходимо еще определить след от единичной матрицы. Это можно сделать любым способом, лишь бы при $d \rightarrow 4$, он был бы равен 4. Обычно его определяют как

$$Tr 1 = 4. \quad (77)$$

- Имеем тогда, используя антикоммутиационные соотношения (69),

$$Tr \gamma^\mu \gamma^\nu = g^{\mu\nu} Tr 1 = 4g^{\mu\nu}, \quad (78)$$

$$Tr(\gamma^\mu \gamma^\nu \gamma^\lambda \gamma^\rho) = (g^{\mu\nu} g^{\rho\lambda} + g^{\mu\rho} g^{\nu\lambda} - g^{\mu\lambda} g^{\nu\rho}) Tr 1 \quad (79)$$

$$Tr \gamma^{\mu_1} \gamma^{\mu_2} \dots \gamma^{\mu_{2n+1}} = 0. \quad (80)$$

➤ В четырех измерениях γ^5 определяется как

$$\gamma^5 = i\gamma^0\gamma^1\gamma^2\gamma^3 = -\frac{i}{24}\varepsilon_{\mu\nu\lambda\rho}\gamma^\mu\gamma^\nu\gamma^\lambda\gamma^\rho \quad (\varepsilon^{0123} = -\varepsilon_{0123} = +1). \quad (81)$$

➤ Однако такое определение не годится в d -измерениях, так как оно,

☞ явно апеллирует к четырем измерениям,

☞ приводит к следующему соотношению

$$\{\gamma^\mu\gamma^5\} = 0, \quad (82)$$

которое является противоречивым в d измерениях.

➤ Чтобы это увидеть, рассмотрим

$$d\text{Tr}\gamma_5 = \text{Tr}\gamma_5\gamma_\mu\gamma^\mu = \text{Tr}\gamma^\mu\gamma_5\gamma_\mu = -\text{Tr}\gamma_5\gamma^\mu\gamma_\mu = -d\text{Tr}\gamma_5 \Rightarrow \quad (83)$$

$$\text{Tr}\gamma_5 = 0 \quad (84)$$

в любом числе измерений, в том числе и при $d = 0$ в силу аналитичности.

➤ Аналогично

$$(d - 2)Tr\gamma_5\gamma_\mu\gamma_\nu = 0 \Rightarrow Tr\gamma_5\gamma_\mu\gamma_\nu = 0 \text{ при } \forall d, \quad (85)$$

$$(d - 4)Tr\gamma_5\gamma_\mu\gamma_\nu\gamma_\lambda\gamma_\rho = 0 \Rightarrow Tr\gamma_5\gamma_\mu\gamma_\nu\gamma_\lambda\gamma_\rho = 0 \text{ при } \forall d. \quad (86)$$

☞ Однако, мы знаем, что при $d = 4$

$$Tr\gamma_5\gamma^\mu\gamma^\nu\gamma^\lambda\gamma^\rho = -4i\varepsilon^{\mu\nu\lambda\rho} \Rightarrow \quad (87)$$

мы пришли к противоречию.

➤ Существует два пути избавиться от него:

☞ отказаться от $\{\gamma_5\gamma_\mu\} = 0$;

☞ отказаться от размерной регуляризации для аксиальных теорий.

☞ Второй путь, хотя и возможен, плох, так как он непоследователен.

- Тем, кто идет по первому пути, можно воспользоваться следующим определением γ_5 ,

$$\gamma_5 = -\frac{i}{4!} \varepsilon_{\mu\nu\lambda\rho}^d \gamma^\mu \gamma^\nu \gamma^\lambda \gamma^\rho, \quad (88)$$

где $\varepsilon_{\mu\nu\lambda\rho}^d = \varepsilon_{\mu\nu\lambda\rho}$ при $d = 4$, других же условий нет, кроме

$$\gamma_5^2 = 1, \quad (89)$$

$$\text{Tr} \gamma_5 \gamma^\mu \gamma^\nu = 0. \quad (90)$$

- Из этих требований вытекают два следующих свойства (показать!)

$$\text{Tr} \gamma_5 \overbrace{\gamma^\mu \gamma^\nu \dots \gamma^\rho}^{\text{нечетное}} = 0, \quad (91)$$

$$\gamma_\mu \gamma_5 \gamma^\mu = -d \gamma_5. \quad (92)$$

-  Определение (88) не вполне ясно, так как не ясен смысл символа $\varepsilon_{\mu\nu\lambda\rho}^d$, однако оно вполне пригодно для конкретных вычислений.

Регуляризация Паули-Вилларса

- Метод Паули-Вилларса основан на регуляризации свободного пропагатора.
- Как мы выяснили, ультрафиолетовые расходимости возникают в результате сингулярного характера пропагатора вблизи светового конуса ($\lambda = x^2$)

$$G^c(x) \stackrel{\lambda \rightarrow 0}{=} \frac{1}{4\pi^2 i} \frac{P}{\lambda} + \frac{1}{4\pi} \delta(\lambda) - \frac{m^2}{16\pi} \theta(\lambda) + \frac{im^2}{8\pi^2} \ln \frac{m|\lambda|}{2} + \mathcal{O}(\sqrt{|\lambda|} \ln |\lambda|). \quad (93)$$

- Наиболее сингулярные члены при этом вообще не зависят от массы.
- Менее сингулярные пропорциональны квадрату массы. \Rightarrow
- Этим фактом можно воспользоваться и заменить пропагатор линейной комбинацией пропагаторов, зависящих от разных масс:

$$G_m^{\text{reg}} = G_m + C_1 G_{M_1} + \dots + C_k G_{M_k}, \quad (94)$$

- При этом, если выбрать коэффициенты C_i таким образом, что

$$1 + \sum_{i=1}^k C_i = 0, \quad m^2 + \sum_{i=1}^k C_i M_i^2 = 0, \quad (95)$$

то регуляризованный пропагатор G^{reg} и его производная не будут содержать особенностей на световом конусе.

- Если же мы хотим, чтобы и его n производных не содержали сингулярностей, то мы должны наложить $n + 1$ условие вида

$$m^{2j} + \sum_{i=1}^k C_i M_i^{2j} = 0 \quad j = 0, 1, \dots, n. \quad (96)$$

- Очевидно, чтобы система (96) из $n + 1$ уравнений была разрешима относительно C_i , необходимо ввести $k = n + 1$ вспомогательных масс M_i .
- Регуляризация снимается путем устремления $M_i \rightarrow \infty$.
- При этом C_i должны оставаться конечными, а $G_{M_i} \rightarrow 0$ при $|x| > 1/M_i$.

- Таким образом, регуляризованный пропагатор совпадает с нерегуляризованным при $|x| > 1/M_i$.
- Посмотрим, что происходит в импульсном пространстве:

$$\frac{1}{q^2 - m^2} \rightarrow \frac{1}{q^2 - m^2} - \frac{1}{q^2 - M^2} = \frac{m^2 - M^2}{(q^2 - m^2)(q^2 - M^2)} \underset{q^2 \rightarrow \infty}{\sim} \frac{M^2}{q^4}, \Rightarrow \quad (97)$$

- Поведение пропагатора в ультрафиолетовой области становится $1/q^4$, а не $1/q^2 \Rightarrow$
- Сходимость (ультрафиолетовая) интегралов улучшается
- Но возникает паули-вилларосовская масса M в числителе

 Видим, что в рассмотренных нами регуляризациях возникают новые размерные параметры (Λ, μ, M) , что нарушает симметрии, чувствительные к появлению таких параметров, такие как дилатационная и аксиальная.

 Более подробно *К. Ициксон, Ж.-Б. Зюбер, Теория поля, 1988*